

# Física Contemporánea

Dr. Víctor H. Cárdenas

Instituto de Física y Astronomía

Universidad de Valparaíso

## 4. Polarización

### Vectores de Jones

Consideremos el campo  $\mathbf{E} = \mathbf{i}E_x + \mathbf{j}E_y$

O bien

$$\mathbf{E} = \mathbf{i}E_{0x}e^{i(kz-\omega t+\varphi_x)} + \mathbf{j}E_{0y}e^{i(kz-\omega t+\varphi_y)}$$

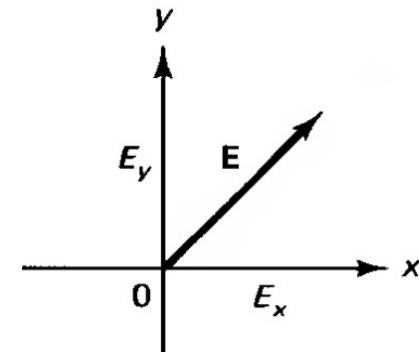
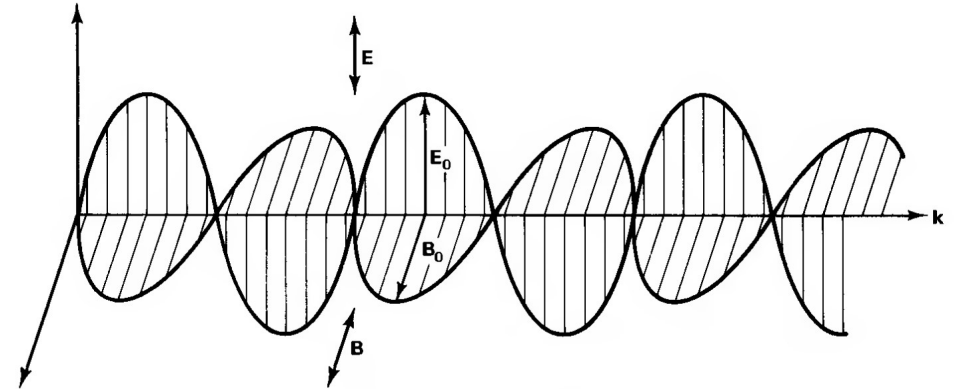
escribiremos

$$\mathbf{E} = [\mathbf{i}E_{0x}e^{i\varphi_x} + \mathbf{j}E_{0y}e^{i\varphi_y}] e^{i(kz-\omega t)} = \tilde{\mathbf{E}}_0 e^{i(kz-\omega t)}$$

donde

$$\tilde{\mathbf{E}}_0 = \begin{bmatrix} \tilde{E}_{0x} \\ \tilde{E}_{0y} \end{bmatrix} = \begin{bmatrix} E_{0x}e^{i\varphi_x} \\ E_{0y}e^{i\varphi_y} \end{bmatrix}$$

llamado vector de Jones



## Polarizadores

### SUMMARY OF JONES MATRICES

---

#### I. Linear polarizers

$$\text{TA horizontal} \quad \begin{bmatrix} 1 & 0 \\ 0 & 0 \end{bmatrix} \quad \text{TA vertical} \quad \begin{bmatrix} 0 & 0 \\ 0 & 1 \end{bmatrix} \quad \text{TA at } 45^\circ \text{ to horizontal} \quad \frac{1}{2} \begin{bmatrix} 1 & 1 \\ 1 & 1 \end{bmatrix}$$

#### II. Phase retarders

$$\begin{array}{ll} \text{General} & \begin{bmatrix} e^{i\epsilon_x} & 0 \\ 0 & e^{i\epsilon_y} \end{bmatrix} \\ \text{QWP, SA vertical} & e^{-i\pi/4} \begin{bmatrix} 1 & 0 \\ 0 & i \end{bmatrix} \quad \text{QWP, SA horizontal} & e^{i\pi/4} \begin{bmatrix} 1 & 0 \\ 0 & -i \end{bmatrix} \\ \text{HWP, SA vertical} & e^{-i\pi/2} \begin{bmatrix} 1 & 0 \\ 0 & -1 \end{bmatrix} \quad \text{HWP, SA horizontal} & e^{i\pi/2} \begin{bmatrix} 1 & 0 \\ 0 & -1 \end{bmatrix} \end{array}$$

#### III. Rotator

$$\text{Rotator} \quad (\theta \rightarrow \theta + \beta) \quad \begin{bmatrix} \cos \beta & -\sin \beta \\ \sin \beta & \cos \beta \end{bmatrix}$$

---

## **Polarización**

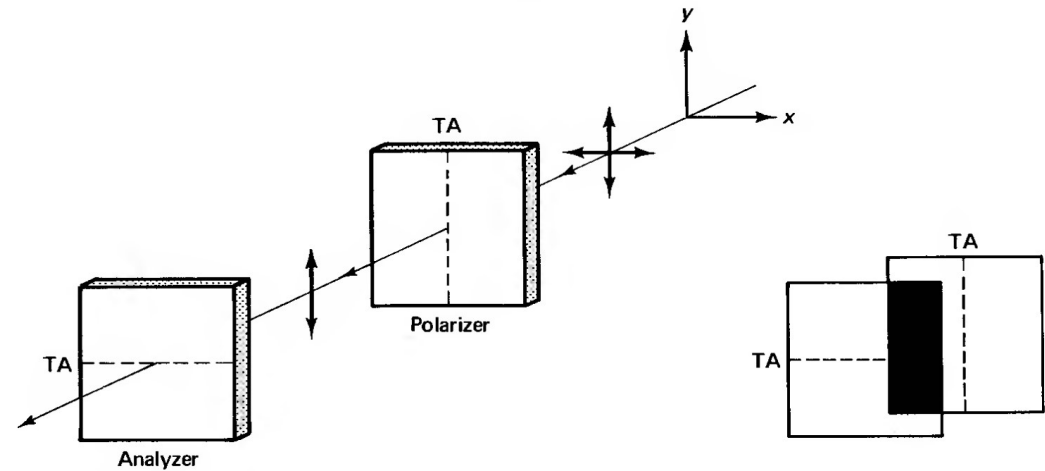
Los procesos más importantes para producir luz polarizada son:

- 1) Dicroísmo
- 2) Reflexión
- 3) Scattering
- 4) Birrefringencia

## Polarización

### Dicroísmo

Absorbe selectivamente vibraciones de  $E$  en una dirección (TA del polarizador).

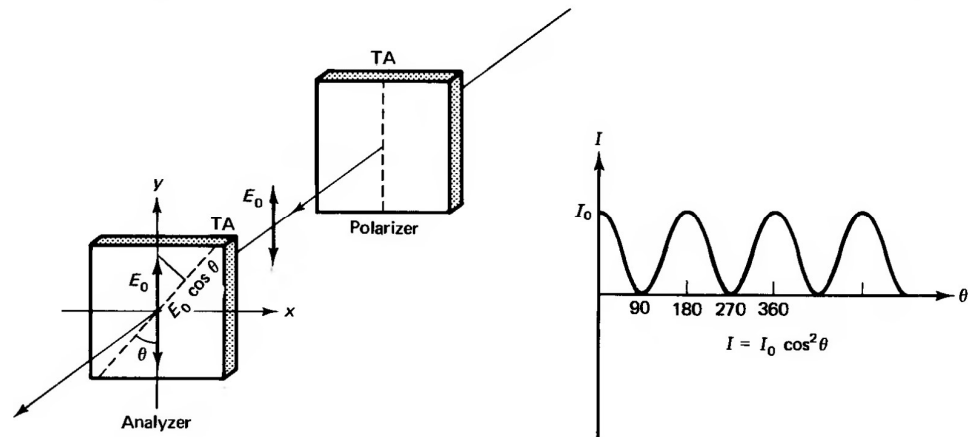


La señal transmitida estará linealmente polarizada (LP)

Para testear el estado de polarización, se uso un segundo polarizador con TA a  $90^\circ$ .

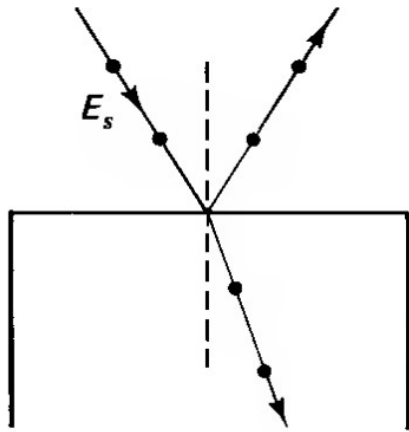
La señal final sigue la *ley de Malus*

$$I = I_0 \cos^2 \theta$$

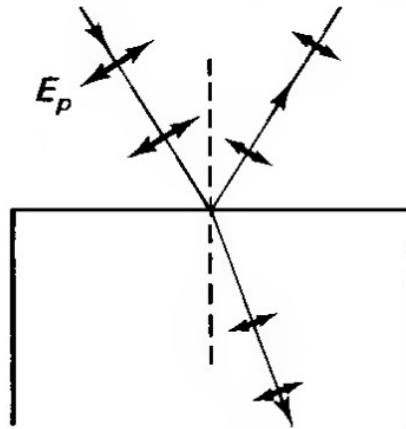


## Polarización

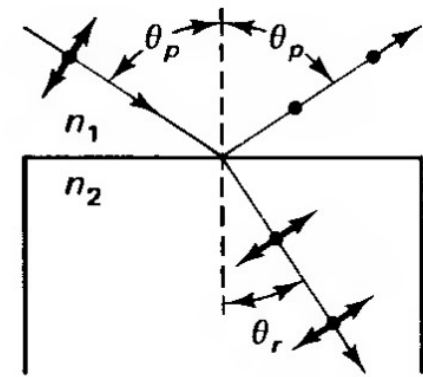
### Reflexión (de superficies dieléctricas)



(a)



(b)



(c)

Una señal no-polarizada (de componentes perpendicular  $E_s$  y paralela  $E_p$  )

Existe un ángulo para el cual desaparece la componente  $E_p$  de haz reflejado.

De la ley de Snell

$$n_1 \sin \theta_p = n_2 \sin \theta_r$$

$$\theta_p = \tan^{-1} \left( \frac{n_2}{n_1} \right)$$

Angulo de Brewster

## Polarización

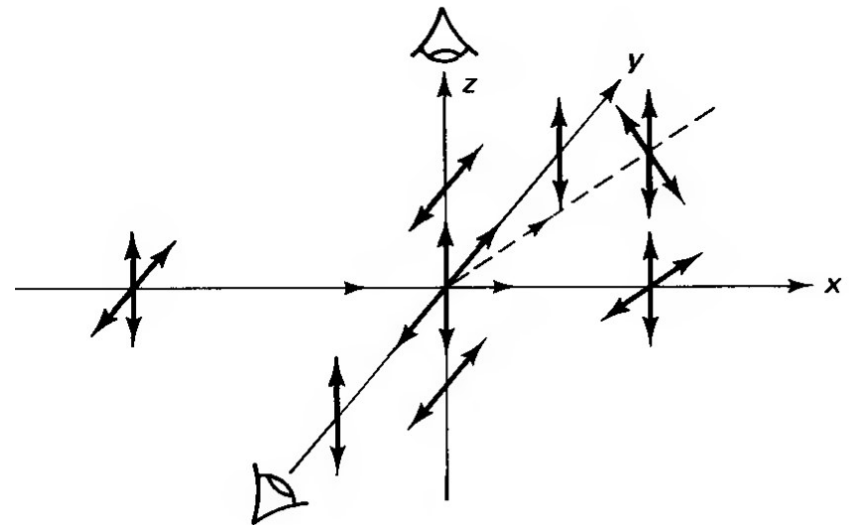
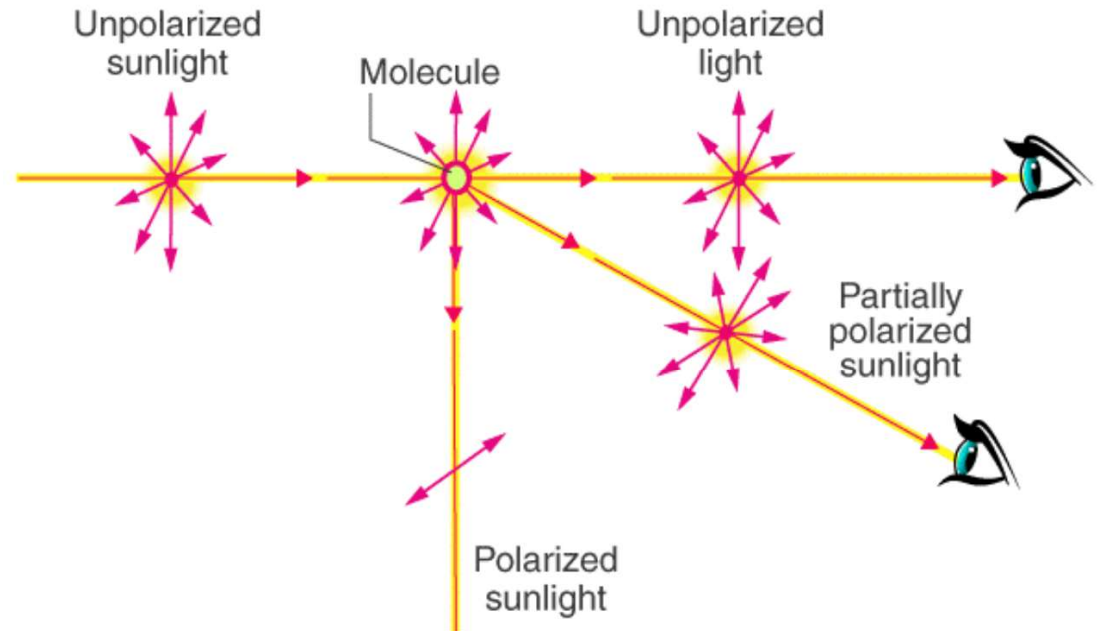
### Por scattering

### Rayleigh

Las dimensiones de las partículas son pequeñas que la longitud de onda.

$$r = r_0 e^{i\omega t}, \quad d^2 r / dt^2 = -\omega^2 r_0 e^{i\omega t}$$

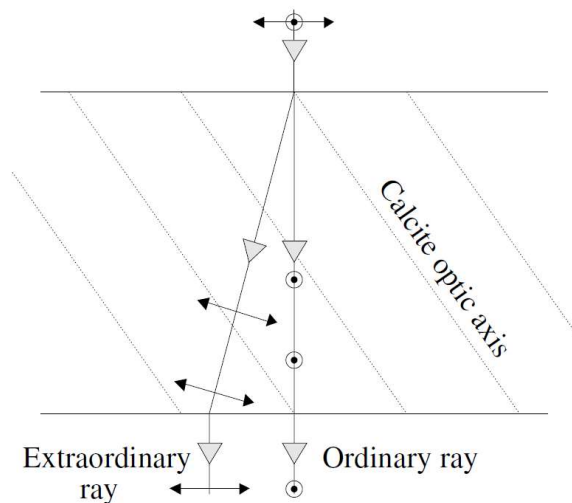
$$P = \frac{e^2 \omega^4 r_0^2}{12\pi \epsilon_0 c^3}$$



## Polarización

### Birrefringencia

Son materiales que producen doble refracción. Como si tuvieran 2 índices de refracción.



	Wavelength	$n_o$	$n_e$	High transmittance
Calcite	589 nm	1.658	1.486	350–4000 nm
Quartz	589 nm	1.544	1.553	200–2300 nm
LNO	633 nm	2.286	2.202	400–5000 nm
LNO	1300 nm	2.220	2.146	400–5000 nm
YVO <sub>4</sub>	633 nm	1.993	2.215	400–4000 nm

Existe polarización ordinaria y extraordinaria.



## Polarización

Birrefringencia: Análisis vía ecs. de Maxwell

$$v \equiv \omega/k = 1/\sqrt{\mu_0 \varepsilon_0 \mu_r \varepsilon_r},$$

$$\mathbf{E} = \mathbf{E}_0 \exp [i(\omega t - \mathbf{k} \cdot \mathbf{r})], \quad \mathbf{B} = \mathbf{B}_0 \exp [i(\omega t - \mathbf{k} \cdot \mathbf{r})].$$

$$\mathbf{k} \cdot \mathbf{D} = 0; \quad \mathbf{k} \cdot \mathbf{H} = 0; \quad \text{de la tercera}$$

$$\mathbf{k} \wedge \mathbf{E} = \omega \mu_0 \mathbf{H}; \quad \mathbf{k} \wedge \mathbf{H} = -\omega \mathbf{D}. \quad \mathbf{k} \wedge (\mathbf{k} \wedge \mathbf{E}) = \omega \mu_0 \mathbf{k} \wedge \mathbf{H} = -\omega^2 \mu_0 \mathbf{D}.$$

luego

$$\begin{pmatrix} D_x \\ D_y \\ D_z \end{pmatrix} = \varepsilon_0 \begin{pmatrix} \varepsilon_x & 0 & 0 \\ 0 & \varepsilon_y & 0 \\ 0 & 0 & \varepsilon_z \end{pmatrix} \begin{pmatrix} E_x \\ E_y \\ E_z \end{pmatrix}.$$

$$\mathbf{D} = \varepsilon_0 \boldsymbol{\varepsilon} \cdot \mathbf{E},$$

En cristales uniaxiales existe simetría (aquí suponemos eje z)  $\varepsilon_y = \varepsilon_x = \varepsilon_1$ .

$$\mathbf{k} \wedge (\mathbf{k} \wedge \mathbf{E}) = -(\omega^2/c^2) \boldsymbol{\varepsilon} \cdot \mathbf{E}.$$

$$(\mathbf{k} \cdot \mathbf{E}) \mathbf{k} - k^2 \mathbf{E} + (\omega^2/c^2) \boldsymbol{\varepsilon} \cdot \mathbf{E} = 0.$$

## Birrefringencia

$$(\mathbf{k} \cdot \mathbf{E})\mathbf{k} - k^2 \mathbf{E} + (\omega^2/c^2)\boldsymbol{\varepsilon} \cdot \mathbf{E} = 0.$$

O en componentes

$$\begin{pmatrix} (\omega^2/c^2)\varepsilon_1 - k_z^2 & 0 & k_x k_z \\ 0 & (\omega^2/c^2)\varepsilon_1 - k^2 & 0 \\ k_x k_z & 0 & (\omega^2/c^2)\varepsilon_3 - k_x^2 \end{pmatrix} \begin{pmatrix} E_x \\ E_y \\ E_z \end{pmatrix} = 0.$$

La componente y es simple

$$(\omega^2/c^2)\varepsilon_1 - k^2 = 0, \quad v \equiv \omega/k = c/\sqrt{\varepsilon_1}, \quad \mathbf{D} = \varepsilon_0 \varepsilon_1 \mathbf{E}.$$

Luz con este campo tiene polarización ordinaria con  $n_o = \sqrt{\varepsilon_1}$  indep. de  $\mathbf{k}$ .

Las otras están acopladas

$$[(\omega/c)^2 \varepsilon_1 - k_z^2][(\omega/c)^2 \varepsilon_3 - k_x^2] - k_x^2 k_z^2 = 0.$$

$$n(\theta) = kc/\omega, \quad 1/n^2(\theta) = \cos^2 \theta / n_o^2 + \sin^2 \theta / n_e^2, \quad n_e = \sqrt{\varepsilon_3},$$